

# >> 基于浮点数计算能力的高性能椭圆曲线 密码实现技术研究

DPF-ECC: Accelerating Elliptic Curve Cryptography with Floating-Point Computing Power of GPUs

汇报人：吴 雯

指导老师：董建阔





# 目录

CONTENT

01

Chapter 01

研究背景

Chapter 02

预备知识

Chapter 03

有限域运算

Chapter 04

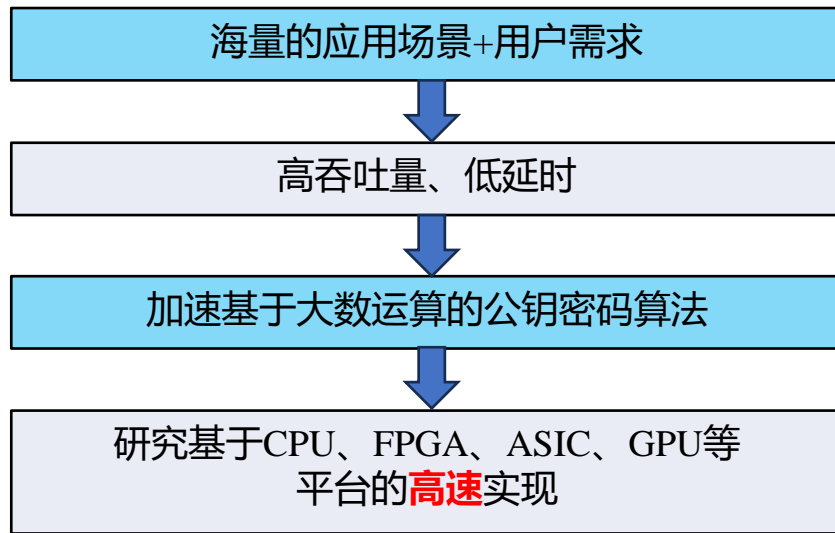
点算数运算优化

Chapter 05

实验分析

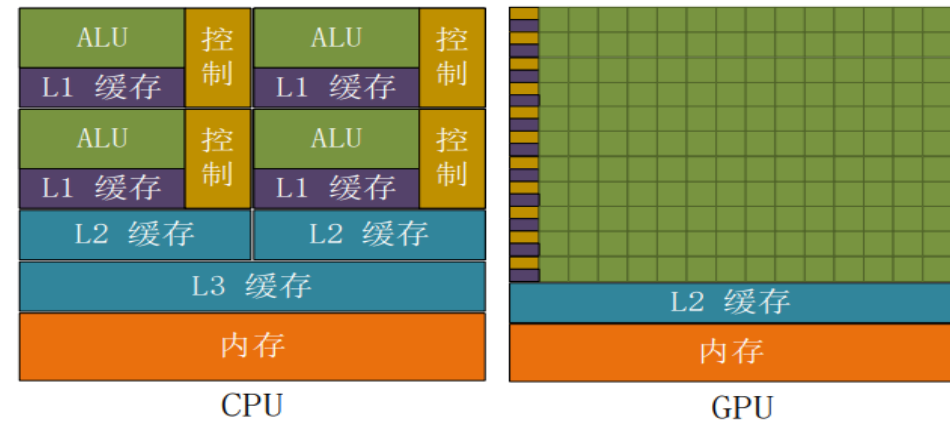
Chapter 06

总结推广



椭圆曲线密码(ECC)可以使用更短的密钥提供与 RSA 密码系统相同安全级别的功能，其广泛应用于数字签名、密钥交换协议等

RSA 密钥大小 (bit)	ECC密钥大小 (bit)
1024	160
2048	224
3072	256
7680	384
15360	521



GPU：数据处理→并行计算  
→高指令吞吐量、高内存带宽

Curve/Edwards25519的密钥大小为 256 比特，是一个定义在素数域  $\mathbb{F}_p$  ( $p = 2^{255} - 19$ )，具有 128 比特安全性的曲线

Curve25519 蒙哥马利形式的曲线方程：

$$y^2 = x^3 + 486662 x^2 + x.$$

Edwards25519扭曲的爱德华兹曲线方程：

$$ax^2 + y^2 = 1 + dx^2y^2$$

其中，**模乘**运算是主要的运算负载→**优化**



# 目录

CONTENT

02

Chapter 01

研究背景

**Chapter 02**

**预备知识**

Chapter 03

有限域运算

Chapter 04

点算数运算优化

Chapter 05

实验分析

Chapter 06

总结推广

# 预备知识：double数据类型

双精度浮点数的格式：

符号位(1bit)	指数位(11bit)	隐式位(不占位)	尾数位(52bit)
-----------	------------	----------	------------

以 $(-384)_{10}$ 为例， $(384)_{10}$ 的二进制表示为 $(1\ 1000\ 0000)_2$ ，  
从而 $(-384)_{10}$ 可以表示为 $(-1)^1 \times 2^8 \times (1.1)_2$ ，其浮点数格式如下：



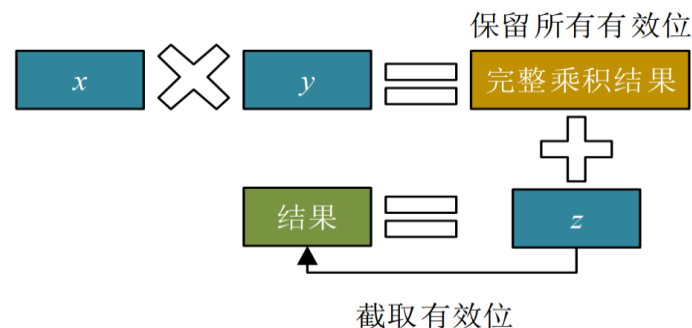
提出方法：  
利用双精度  
浮点数的  
**52bit尾数**部  
分存储大整  
数！

注：不是所有的数都能被精确表示，如用double类型表示 $2/3$ 就会丢失精度  
IEEE754标准规定了4种规约方式，本研究采用的是round towards zero(rz)

# 预备知识：积和熔加FMA

对于乘加运算： $(x \times y) + z$

1. 普通乘加运算分别在乘法和加法计算结束后各进行一次rz舍入操作，由此会带来更多的精度损失
2. 积和熔加方法(**FMA**)仅在乘法和加法都计算完成后进行rz舍入操作，因此操作**更快**、结果**更准确**



FMA计算机制

- (1)  $A = 1 \times (1.00000000\ 00000000\ 0000001)_2$
- (2)  $B = -1 \times (1.00000000\ 00000000\ 0000001)_2$
- (3)  $rz(A \times A + B) = 2^{-46}$  [积和熔加计算结果]
- (4)  $rz(rz(A \times A) + B) = 0$  [普通乘加计算结果]

积和熔加与常规乘加的区别

## Dekker单字乘法

输入: double类型的乘数  $a$  与被乘数  $b$

输出: 低位子积  $c_{lo}$  和高位子积  $c_{hi}$

(1)  $c_{hi} = \_fma\_rz(a, b, 0.0)$

(2)  $c_{lo} = \_fma\_rz(a, b, -c_{hi})$

步骤(1)使得  $a \cdot b$  的结果仅保留高 53 位有效数字(整数位和分数部分)

步骤(2)用完整乘积  $-c_{hi}$ ，得到低位子积，但  $c_{lo}$  的位数不固定

子积精度不同，累加过程无法对齐

如何改进?



# 目录

CONTENT

03

Chapter 01

研究背景

Chapter 02

预备知识

**Chapter 03**

**有限域运算**

Chapter 04

点算数运算优化

Chapter 05

实验分析

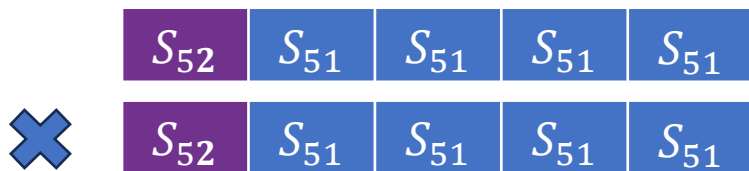
Chapter 06

总结推广



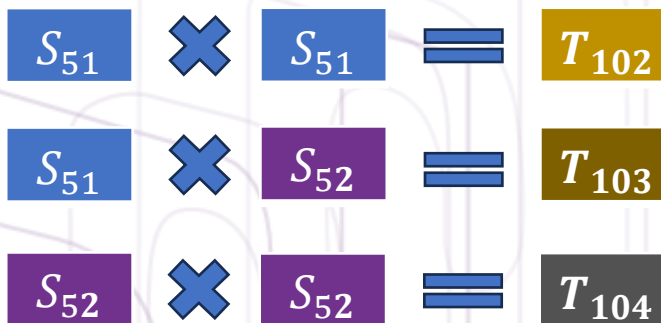
Curve/Edwards25519的计算基于255位素数域上的 $F_p(p = 2^{255} - 19)$   
本研究使用4个51位的字和1个52位的字**冗余**表示 $GF(2^{255} - 19)$ 上的大整数：

$S_{51}$ ：使用1个double表示、字长为 51的字  
 $S_{52}$ ：使用1个double表示、字长为 52的字  
 $S_{256}$ ：使用5个double表示的256位大整数，其中前4个double为 $S_{51}$ ，最后1个double为 $S_{52}$



$T_{102}$  ( $T_{103}$ 、 $T_{104}$ )往往无法存储在单个double类型的尾数部分，Dekker方法会导致累加过程无法对齐

乘法过程中出现三种单字乘法的情形：



**Dekker方法的改进：**(更灵活、更高效)

输入： $S_{51}$ 或 $S_{52}$  类型表示的 $a$  与  $b$

输出：低位子积  $c_{lo}$  和高位子积  $c_{hi}$

(1)  $p_{hi} = \_fma\_rz(a, b, 2^{103})$

(2)  $p_{lo} = \_fma\_rz(a, b, 2^{103} + 2^{52} - p_{hi})$

对低位子积的位数有**锚定**作用，  
可**直接**用于后续多精度乘法的累加计算



# 有限域运算：高/低位子积

$T_{102}$ 和 $T_{103}$ 的高位子积：

$a_i \times b_j$ 的乘积结果  $< 2^{103}$ ,  $p\_hi = \_fma\_rz(a, b, 2^{103})$  中  $2^{103}$  占主导地位, 所以指数位恒为  $(1023+103)_{10} = (100\ 0110\ 0110)_2 = (0x466)_{16}$



$T_{102}$ 和 $T_{103}$ 的低位子积：

$p\_lo = \_fma\_rz(a, b, 2^{103} + 2^{52} - p\_hi)$  中  $2^{52}$  占主导地位, 所以指数位恒为  $(1023+52)_{10} = (100\ 0011\ 0011)_2 = (0x433)_{16}$



锚定!!

$$S_{52} \times S_{52} = T_{104}$$

$T_{104}$ 的高/低位子积：

乘法结果为 $T_{104}$ 类型的最长为104bit, 理论上是拆分成2个52bit的高/低位积, 用同样的公式还能锚定低位积的位数吗?

后面证明:  
 $T_{104}$ 类型可以用同样的公式计算, 其子积的表示形式与 $T_{103}$ 类型相同



在计算乘积结果时涉及到累加过程，若不对double类型的数据进行掩码处理，累加过程中可能会出现溢出，从而导致运算错误

1. 将存有高/低位子积的双精度浮点数直接转化为 `uint64_t` 格式的二进制，并在**整数域**中进行求和

0100 0110 0110 (52bit, 存储高位子积)

0100 0011 0011 (52bit, 存储低位子积)

```
1: for i = 0 to 4 do
2:    $c_i = i \times 0x466 + (i + 1) \times 0x433$ 
3:    $c_i = -(c_i \& 0xFF F) << 52$ 
4:    $c_{9-i} = (i + 1) \times 0x466 + i \times 0x433$ 
5:    $c_{9-i} = -(c_{9-i} \& 0xFF F) << 52$ 
6: end for
```

2. 累加器中生成负初始值，以抵消浮点数的符号位和幂指数位

0100 0110 0110 (52bit, 存储高位子积)

前12bit恒定不变

$T_{102}$ : 1bit的0+51bit的高位积  
 $T_{103}$ 、 $T_{104}$ : 52bit的高位积

0100 0011 0011 (52bit, 存储低位子积)

前12bit恒定不变

$T_{102}$ 、 $T_{103}$ 、 $T_{104}$ :  
1bit的0+51bit的低位积

0000 0000 0000 (52bit, 存储高位子积)

$T_{102}$ : 1bit的0+51bit的高位积  
 $T_{103}$ 、 $T_{104}$ : 52bit的高位积

0000 0000 0000 (52bit, 存储低位子积)

$T_{102}$ 、 $T_{103}$ 、 $T_{104}$ :  
1bit的0+51bit的低位积

此时每一列累加器最多可以累加 $2^{11}$ 项子积，而这里至多累加10项，不会溢出

# 有限域运算：多精度乘法

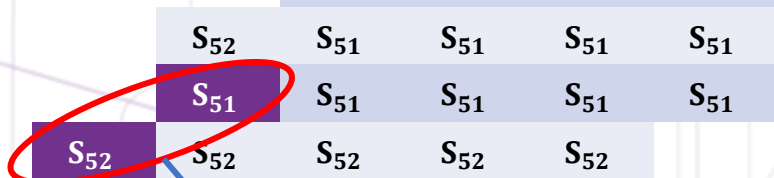
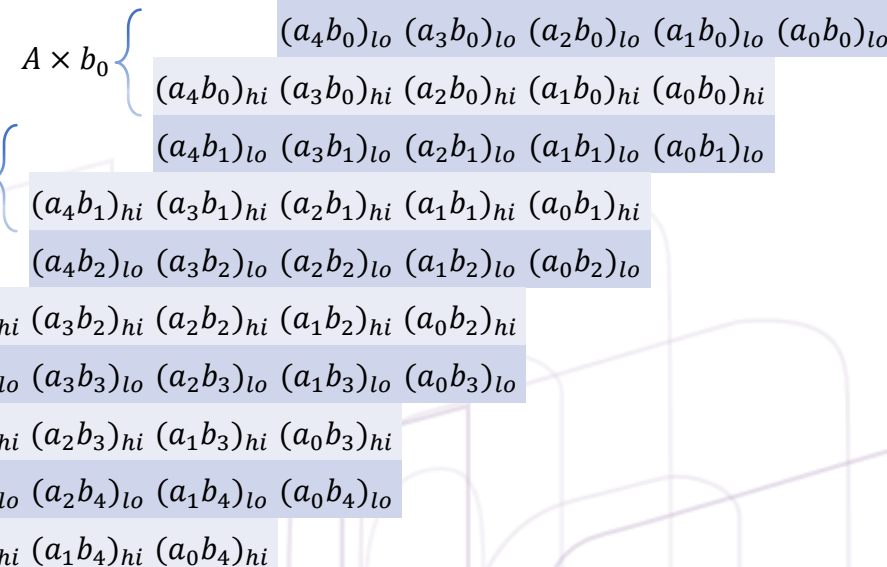
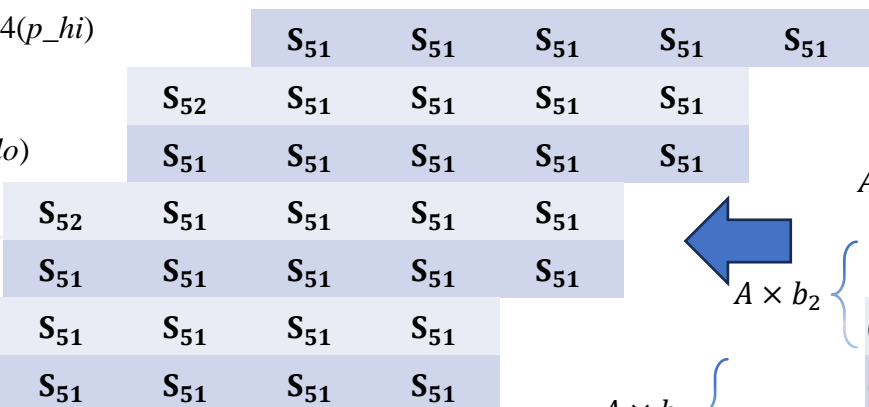
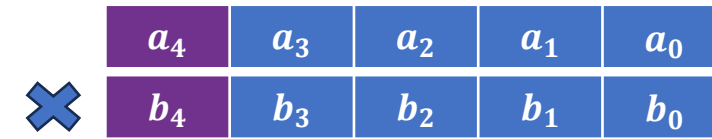
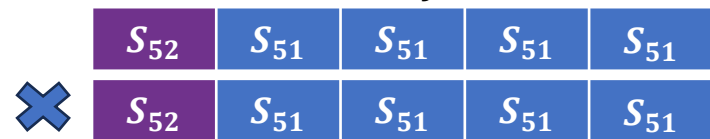
将两个 $GF(2^{255} - 19)$ 上的大整数  $A$  和  $B$  表示成 $S_{256}$  格式：

$$A = \sum_{i=0}^4 a_i \cdot 2^{51i}, \quad B = \sum_{i=0}^4 b_i \cdot 2^{51i}, \quad \text{当 } 0 \leq i < 4 \text{ 时, } 0 \leq a_i, b_i < 2^{51}, \quad \text{当 } i = 4 \text{ 时, } 0 \leq a_i, b_i < 2^{52}$$

乘法 $A \times B$ 可以拆分成若个单精度乘法 $a_i \times b_j$ ,  $0 \leq i, j \leq 4$

```

1: for i = 0 to 4 do
2:   for j = 0 to 4 do
3:     p_hi = __fma_rz(a_j, b_i, 2103)
4:     ci+j+1 = Ci+j+1 + conv_2_uint64(p_hi)
5:     sub = 2103 + 252 - p_hi
6:     p_lo = __fma_rz(a_j, b_i, sub)
7:     ci+j = ci+j + conv_2_uint64(p_lo)
8:   end for
9: end for
    
```



$T_{104}$



$$C = A \times B = \sum_{i=0}^9 c_i \cdot 2^{51i}$$

# 有限域运算：快速约减

多精度乘法完成后，乘法结果可用10个冗余的uint64\_t类型的累加器表示为  $C = \sum_{i=0}^9 c_i \cdot 2^{51i}$

$$p = 2^{255} - 19 \rightarrow 2^{255} \equiv 19 \pmod{p}$$

快速约减公式：

$$\begin{aligned} C &= \sum_{i=0}^9 c_i \cdot 2^{51i} \\ &= \sum_{i=0}^4 c_i \cdot 2^{51i} + \sum_{i=5}^9 c_i \cdot 2^{51i} \\ &= \sum_{i=0}^4 c_i \cdot 2^{51i} + \sum_{i=0}^4 c_{i+5} \cdot 2^{51(i+5)} \\ &= \sum_{i=0}^4 c_i \cdot 2^{51i} + 2^{255} \cdot \sum_{i=0}^4 c_{i+5} \cdot 2^{51i} \\ &\equiv \sum_{i=0}^4 c_i \cdot 2^{51i} + \sum_{i=0}^4 19 \cdot c_{i+5} \cdot 2^{51i} \pmod{p} \\ &\equiv \sum_{i=0}^4 (c_i + 19 \cdot c_{i+5}) \cdot 2^{51i} \pmod{p} \end{aligned}$$

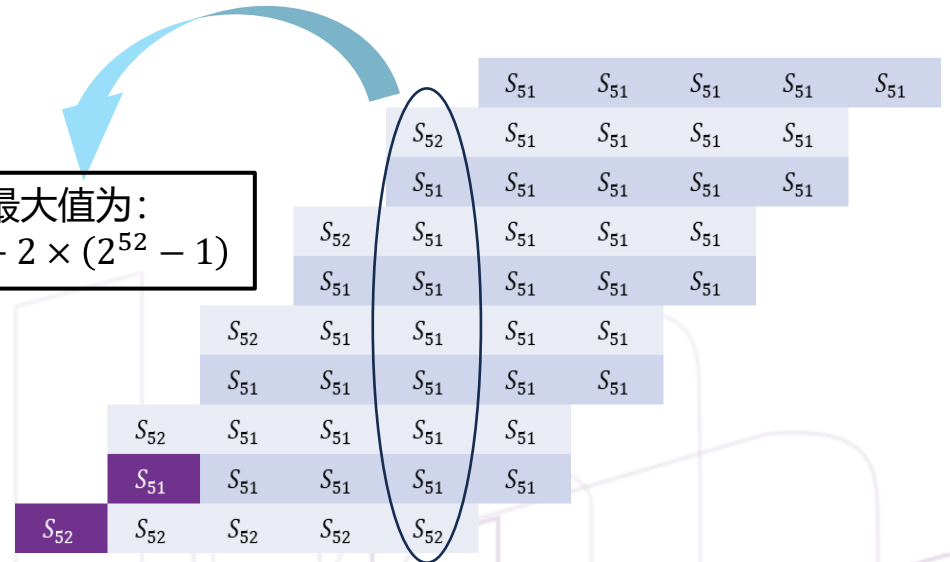


目的：将 512 位累加器约减至 **256** 位

每个uint64\_t累加器：\*\*..\*\*(长64bit, 最多占59bit)

通常在快速约减之前要将10个冗余的uint64\_t转换成简化形式，本方案采取的51bit字表示可以**跳过“简化”**步骤

每个累加器的最大值为：  
 $7 \times (2^{51} - 1) + 2 \times (2^{52} - 1)$



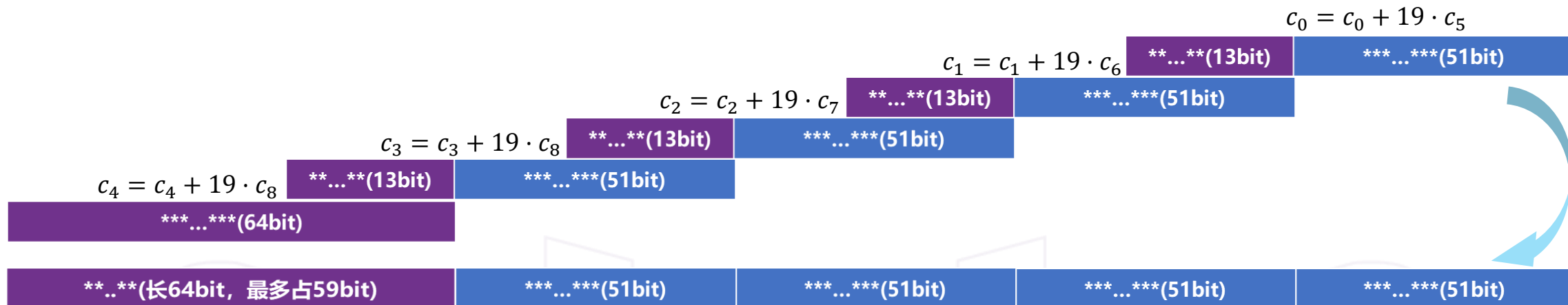
快速约减中，19倍的 $c_{i+5}$ 被累加至 $c_i$ ， $c_i$ 的最大值为：  
 $19 \times [7 \times (2^{51} - 1) + 2 \times (2^{52} - 1)] + (2^{51} - 1) < 2^{59} - 1$   
不会超过累加器(64bit)的取值范围

# 有限域运算：进位消解

快速约减后得到5个冗余的uint64\_t类型的数值，而不是精确的 $S_{256}$  格式

对于前 4 个累加器，将每一个uint64\_t数值的高 13 位作为进位累加至下一个uint64\_t数值

$$c_{i+1} = c_{i+1} + (c_i \gg 51), c_i = c_i \& mask51, i \in [0, 3], mask51 = 0x7FFFFFFFFFFFFFFFull$$



此时仅第 5 个累加器是冗余的，接着执行以下操作：

$$c_0 = c_0 + (c_4 \gg 51) \times 19, c_i = c_i \& mask51$$



经过一轮**进位消解**(执行一次以上两个步骤)，5 个累加器的结果限定在 $[0, 2^{256})$ ，因为

$$19 \times (2^{59-51} - 1) + 2^{255} - 1 < 2^{255} + 4845 < 2^{256} - 1$$

优点：**无额外开销**的同时，可以**直接**作为下一个函数的输入

# 有限域运算： $T_{104}$ 高/低位子积

证明：

$T_{104}$  类型的子积的表示形式与  $T_{103}$  类型相同

## ①初始时：

本方案中用  $S_{256}$  表示一个256bit的数：

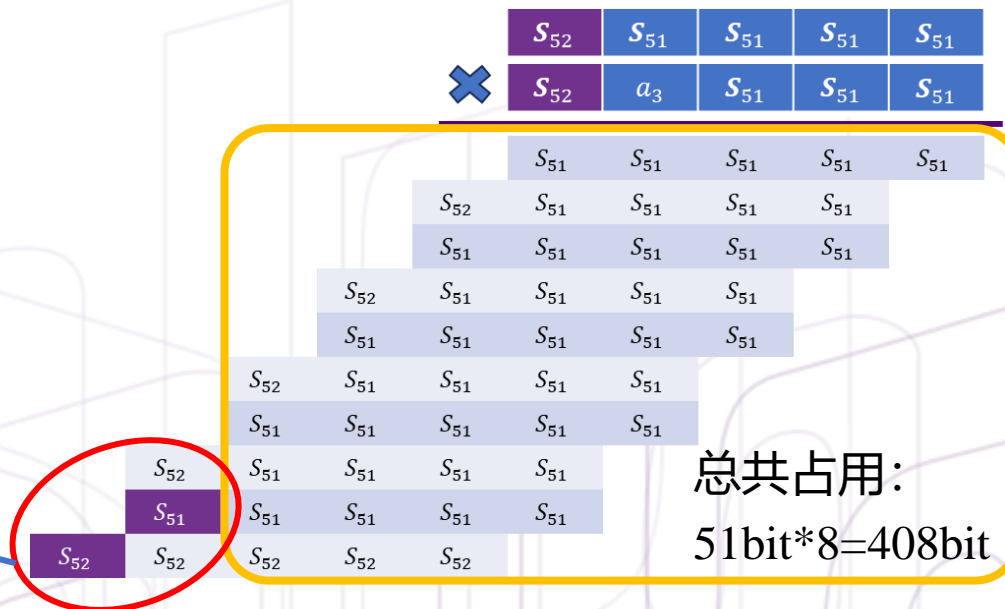


因为大数运算基于  $GF(2^{255} - 19)$ ，初始时A和B的最高位字实际仅51bit，此时  $T_{104}$  不会超过103bit，可以表示成  $T_{103}$  类型的格式；

## ②运算过程中：

乘法过程中，乘法结果的取值范围 ( $< 2^{255} + 4845$ )，  
因为大整数的取值范围足够小，所以在进行乘法运算时，  
两个大整数的乘法结果 ( $< (2^{255} + 4845)^2$ ) 比  $2^{511}$  小，  
最高两个字的乘积 **不会超过103bit**

$T_{104}$ ：最多只有103bit







# 目录

CONTENT

04

Chapter 01

研究背景

Chapter 02

预备知识

Chapter 03

有限域运算

**Chapter 04**

**点算数运算优化**

Chapter 05

实验分析

Chapter 06

总结推广



拓展坐标:  $(U, V, Z, T)$

$$x=U/Z, y=V/Z, xy=T/Z$$

仿射坐标:  $(x, y)$

## 点加:

$$P_2(U_2, V_2, Z_2, T_2) = P_1(U_1, V_1, Z_1, T_1) + P_2(U_2, V_2, Z_2, T_2)$$

- (1)  $Z_2 = Z_2 \times Z_1$  (2)  $Z_1 = Z_2 + 2$  (3)  $Z_2 = T_1 \times T_2$   
(4)  $T_2 = d_2 \times Z_2$  (5)  $Z_2 = V_2 - U_2$  (6)  $T_1 = V_2 + U_2$   
(7)  $U_2 = V_1 - U_1$  (8)  $V_2 = Z_2 \times U_2$  (9)  $Z_2 = V_1 + U_1$   
(10)  $U_2 = T_1 \times Z_2$  (11)  $U_1 = U_2 + V_2$  (12)  $V_1 = Z_1 - T_2$   
(13)  $T_1 = Z_1 + T_2$  (14)  $Z_1 = U_2 + V_2$  (15)  $U_2 = U_1 \times V_1$   
(16)  $V_2 = T_1 \times Z_1$  (17)  $Z_2 = V_1 \times T_1$  (18)  $T_2 = U_1 \times Z_1$

8个变量、9次模乘、6次模加、3次模减

**简化算法计算步骤、重用变量、减少对寄存器的使用!**

## 混合点加: 寄存器的利用更有优势

$$P_2(U_2, V_2, Z_2, T_2) = P_1(X_1, Y_1) + P_2(U_2, V_2, Z_2, T_2)$$

因  $P_1(X_1, Y_1) = (X_1, Y_1, Z_1 = 1, T_1 = X_1 \times Y_1)$   
故移除步骤(1), 同时添加  $T_1 = X_1 \times Y_1$

6个变量、9次模乘、6次模加、3次模减

## 倍点: 执行步骤少

$$P_1 = [2]P_1, \text{ 即 } P_1 = P_1 + P_1, \quad P_1 = (U_1, V_1, Z_1, T_1)$$

- (1)  $M = U_1^2$  (2)  $N = V_1^2$  (3)  $T_1 = U_1 + V_1$  (4)  $U_1 = M + N$   
(5)  $V_1 = M - N$  (6)  $M = T_1^2$  (7)  $N = U_1 - M$  (8)  $T_1 = Z_1^2$   
(9)  $M = T_1 + V_1$  (10)  $Z_1 = M \times V_1$  (11)  $T_1 = N \times U_1$   
(12)  $V_1 = V_1 \times U_1$  (13)  $U_1 = M \times N$

6个变量、4次模乘、4次模平方、3次模加、2次模减

## Curve25519的点乘

[illegible]

分段算法：访存次数少、点算术运算步骤少、需要大量的存储资源

将这n组包含的 $2^k$ 个点生成**预计算表**存储在GPU**全局内存**

$$[d]G = \sum_{i=0}^{n-1} d_i \cdot 2^{i \cdot k/n} G$$

固定窗口算法：效率介于Double and add 算法和滑动窗口算法之间、可以**抵御计时攻击**

$2^{\omega} - 1$ 次点加生成预计算表;  
 $(n - 1) \cdot \omega$ 次倍点、 $(n - 1)$ 次点  
 加生成最终的点乘结果



# 目录

CONTENT

05

Chapter 01

研究背景

Chapter 02

预备知识

Chapter 03

有限域运算

Chapter 04

点算数运算优化

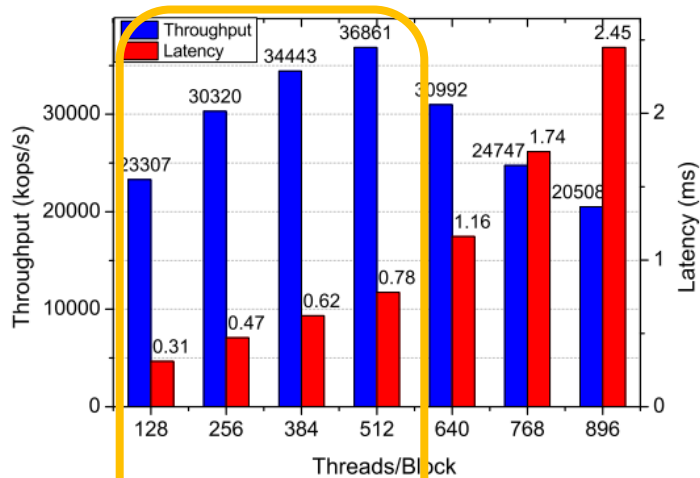
**Chapter 05**

**实验分析**

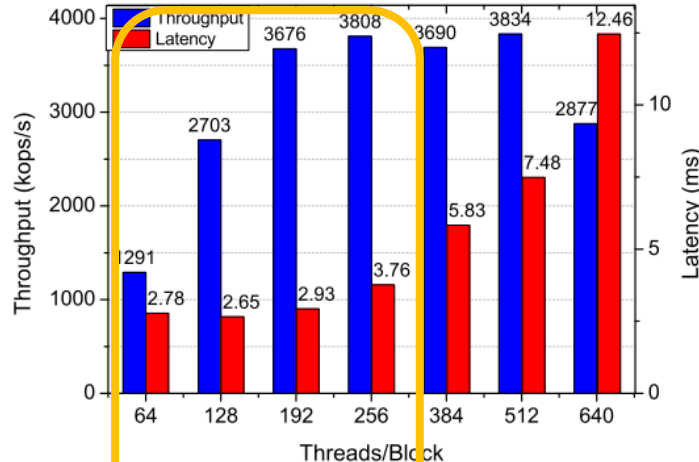
Chapter 06

总结推广

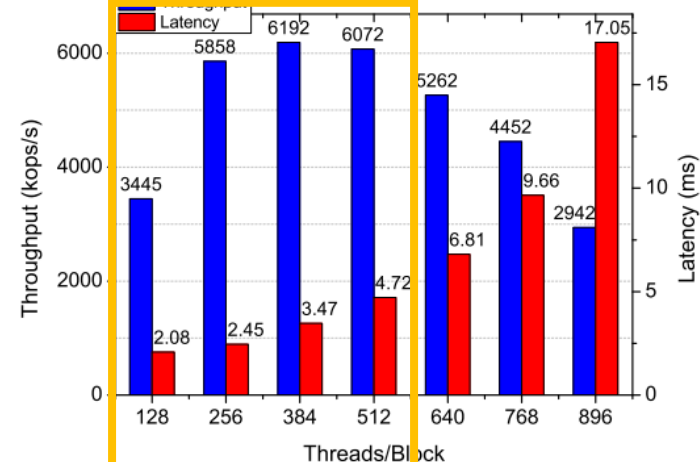
# 实验分析：不同平台的性能比较



(a) Known Point Multiplication of Edwards25519

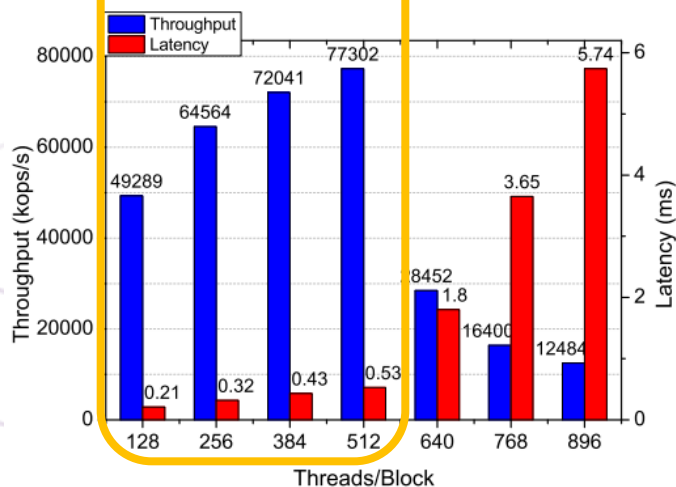


(b) Unknown Point Multiplication of Edwards25519

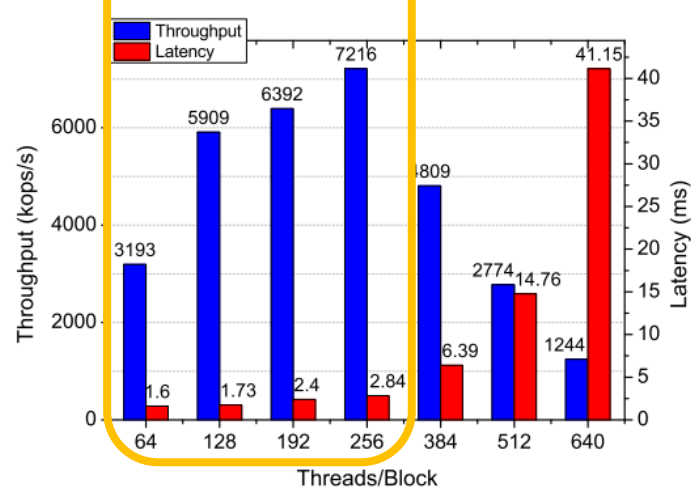


(c) Unknown Point Multiplication of Curve25519

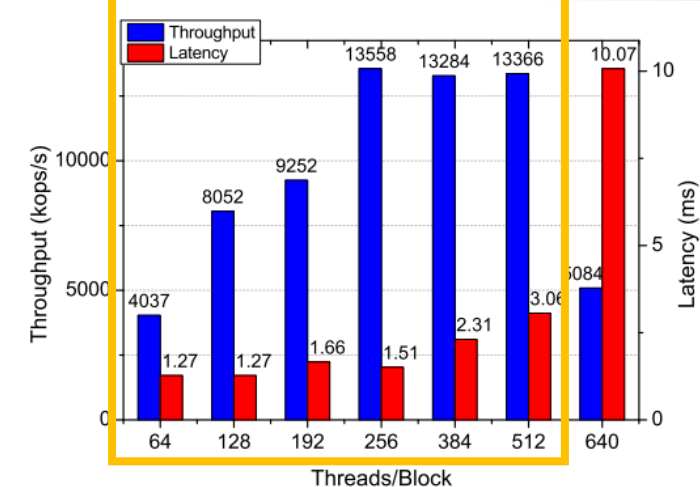
Tesla P100(56个Block)



(a) Known Point Multiplication of Edwards25519



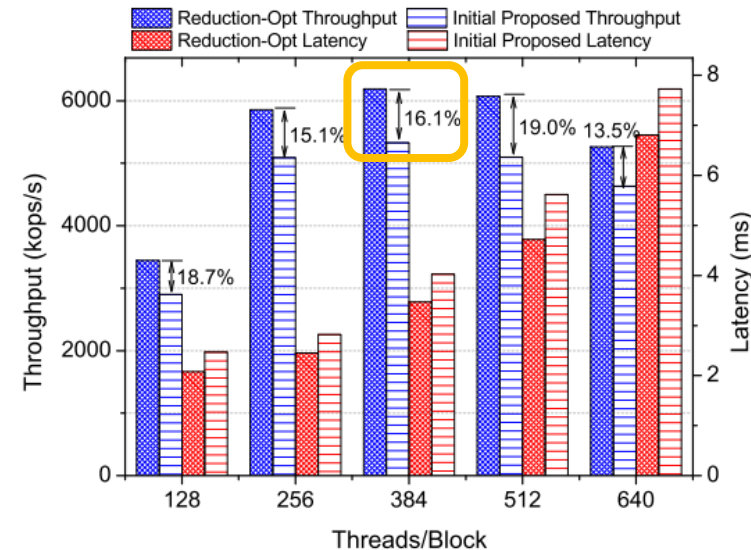
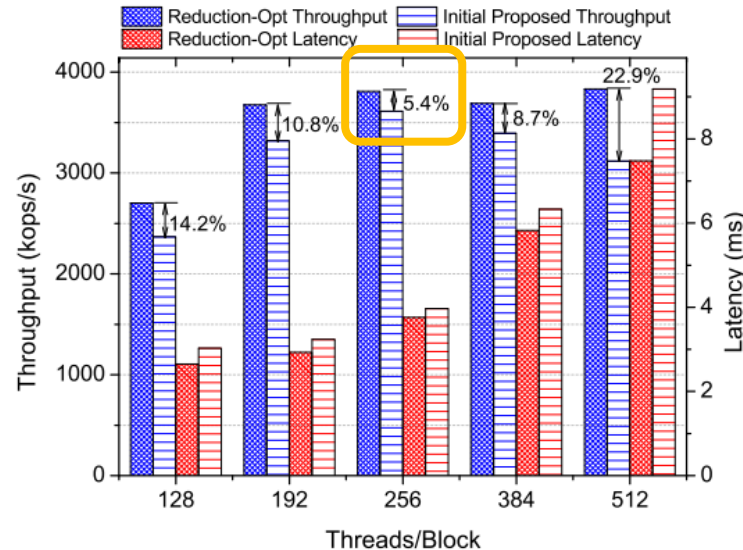
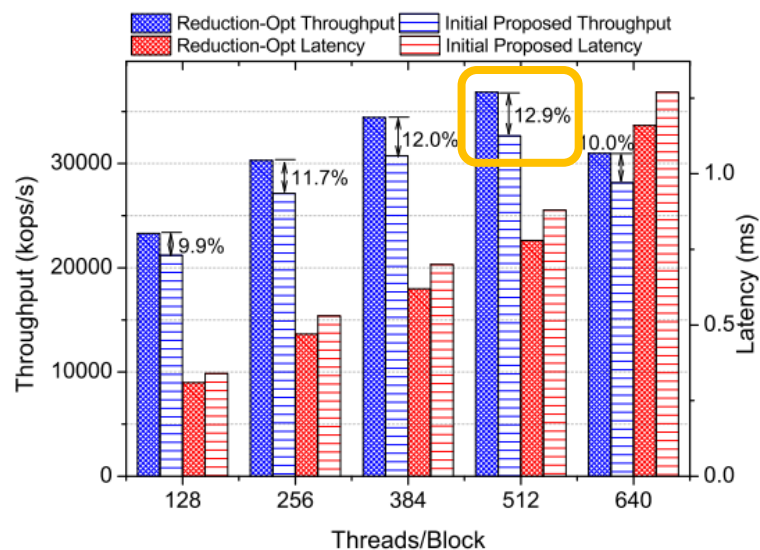
(b) Unknown Point Multiplication of Edwards25519



(c) Unknown Point Multiplication of Curve25519

TITAN V(80个Block)

# 实验分析：省略“约简”步骤对点乘性能的提升



(a) Known Point Multiplication of Edwards25519 (b) Unknown Point Multiplication of Edwards25519 (c) Unknown Point Multiplication of Curve25519

在快速约减之后跳过繁琐的“约简”步骤也大大提高了性能。如图所示，在 Tesla P100 上，跳过“约简”步骤使得 Edwards25519 的已知和未知点点乘，点乘在峰值处的性能分别**提升了 12.9%, 5.4%, 16.1%**。



## 与已有的浮点数实现相比较

	Bernstein et al. [22]	Proposed Method
Coprocessor	GTX 295	TITAN V
GFLOPS	1192.30	14899.2
280-bit Curve by a 11797-bit scalar (ops/s)	400.70	-
Curve25519 (scaled) (Mops/s)	0.552	13.558

即使将平台和曲线的差异考虑在内，本方法的实现也是 Bernstein 等人方法的 **24.56** 倍

## 与已有的整型数实现相比较

Implementation	GPU	Architecture	GFLOPS <sup>[*]</sup>	ECC Curve	Known Point (kops)	Unknown Point (kops)	Latency (ms)
Mahe et al. [20]	GTX TITAN	Kepler	4499	Curve25519	-	524	-/-
Dong et al. [21]	GTX TITAN	Kepler	4499	Curve25519	-	1,394	-/-
	GTX 1080	Pascal	7967-8873		-	2,860	-/6.26
	Tesla P100	Pascal	8071-9340		-	3,062	-/7.02
Cui et al. [36]	GTX 285	Tesla	708	224-bit Edwards	345	115	4.52/19.20
Pan et al. [16]	GTX 780Ti	Kepler	5045	NIST P-256	8,710	929	0.42/25.82
Ours	Tesla P100	Pascal	8071-9340	Curve25519	-	<b>6,192</b>	-/3.47
	TITAN V	Volta	12288-14899		-	<b>13,558</b>	-/1.51
	Tesla P100	Pascal	8071-9340	Edwards25519	<b>36,861</b>	<b>3,808</b>	0.78/3.76
	TITAN V	Volta	12288-14899		<b>77,301</b>	<b>7,216</b>	0.53/2.84

主要性能优势在于充分利用了双精度浮点数的有效位、**降低**了快速约减中的**进位消解的轮数**，**省去了“约简”**操作，**合并**了冗余的进位消解步骤，利用了 GPU 的合并访存操作

## 关于侧信道安全的讨论

本方案中的有限域算术都**不涉及数据依赖型分支**（例如，进位传播等），理论上可以保障程序**免受计时攻击**。点乘中的内存访问和跳转模式也**不依赖标量  $k$  的任一比特**。因此，无论从曲线层面，还是有限域算术层面，本文的算法实现都**可以抵御计时攻击**。



# 目录

CONTENT

06

Chapter 01

研究背景

Chapter 02

预备知识

Chapter 03

有限域运算

Chapter 04

点算数运算优化

Chapter 05

实验分析

**Chapter 06**

**总结推广**



## ➤ 1. 提出基于双精度浮点数的大整数乘法计算方法

将单字乘法的高半部分子积和低半部分子积分别存储在两个双精度浮点数的**尾数部分**，然后通过 64 位**二进制整数域**对符号位和幂指数位的**掩码操作**消除干扰项，使所得的子积结果无需对齐便可用于多精度列项和的计算。**减少**了大整数乘法计算中的**操作数的数量**和**积和熔加指令的数量**，提升了大整数乘法计算的性能。

## ➤ 2. 提出基于双精度浮点数的ECC点算术运算优化技术

双精度浮点数的二进制整数域可以容纳更多的冗余位，因此，在完成大整数计算得到列项和之后可以**直接进行快速约减计算，不会出现溢出问题**。这**省略了**在快速约减计算之前将冗余格式转换为标准的大整数表示格式的步骤。本研究将  $GF(2^{255} - 19)$  上的快速约减算法的**进位处理缩减至一轮**，并通过调整算法的执行步骤，合并部分有限域算术间的进位操作提升性能。

## ➤ 3. Crandall 素数域( $2^k - \sigma$ ) → Solinas 素数域( $2^k - 2^t \pm \dots \pm 1$ )

Solinas 素数的形式不如 Crandall 素数的简洁，但是基于 Solinas 素数域的多精度乘法也可以通过**快速约减算法**将乘法结果约减至标准的 DPF 表示格式



南京邮电大学  
Nanjing University of Posts and Telecommunications

Thank you for listening

